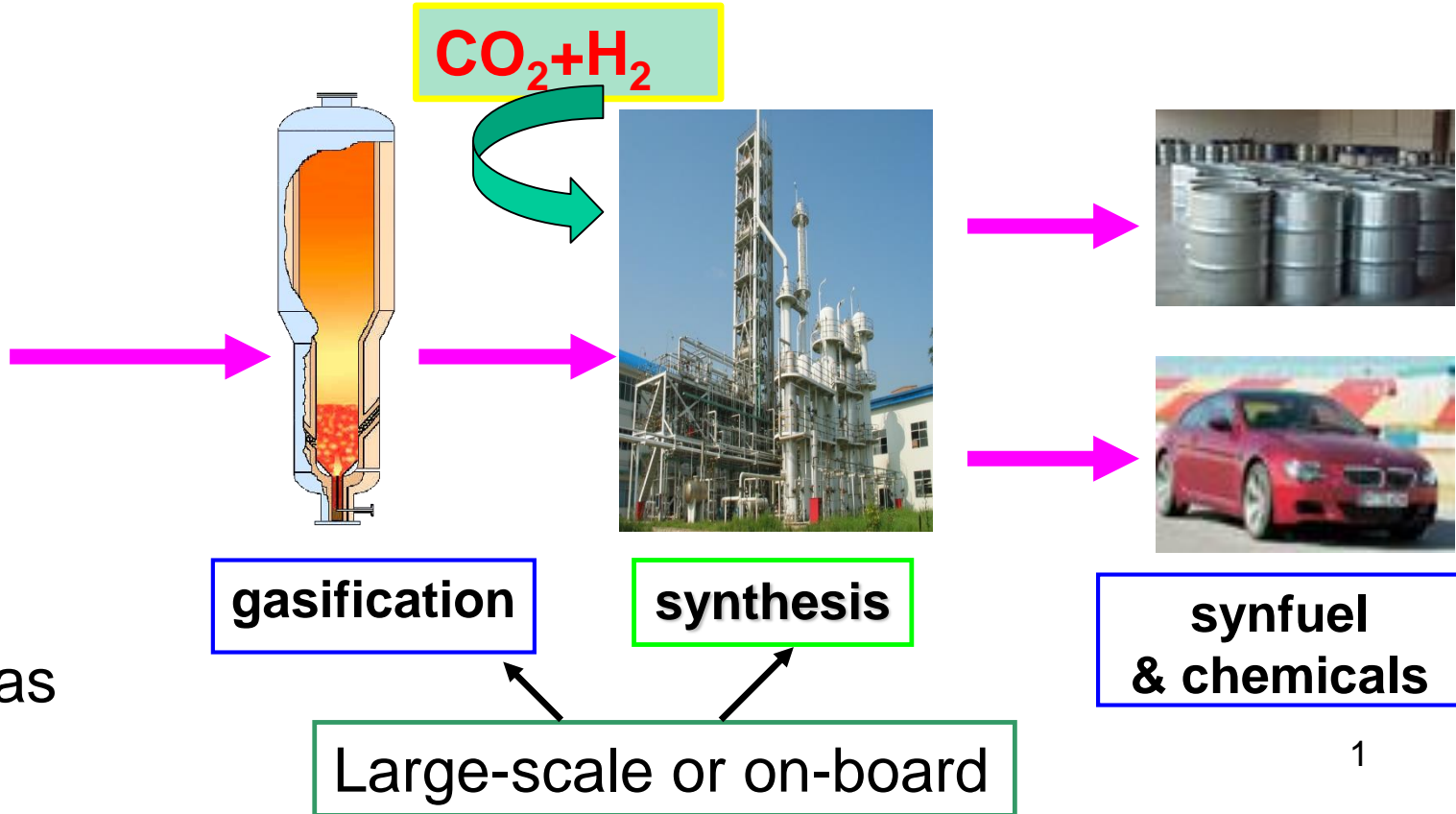


無機膜と触媒によるカーボンリサイクル技術

富山大学カーボンニュートラル物質変換研究センター長
富山大学工学系 椿範立



Biomass
Coal
Natural gas
Garbage



PART 1 CO or CO₂ to aromatics or para-xylene (PX) by capsule catalyst

PART 2 CO/CO₂から航空機ジェット燃料の直接合成

PART 3 新エタノール合成方法

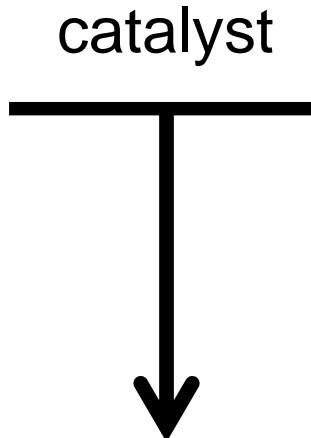
PART 4 従来のFT理論打破、Cobalt節約、capsule catalyst新展開であるスイカ型FT触媒

PART 5 New-SMSI効果

PART 6 From lab to large plants

C1 chemistry flow

Natural gas
Biomass
Coal
Garbage
Heavy oil



Air
Water steam
Carbon dioxide

合成ガス転換と
CO₂水素化：
触媒設計原理
類似

Synthesis gas (CO+H₂) or CO₂+H₂(原理同じ)
normalized to carbon monoxide
and hydrogen

gasoline/diesel/
jet fuel/LPG

alcohol

catalysts

ester

organic acid

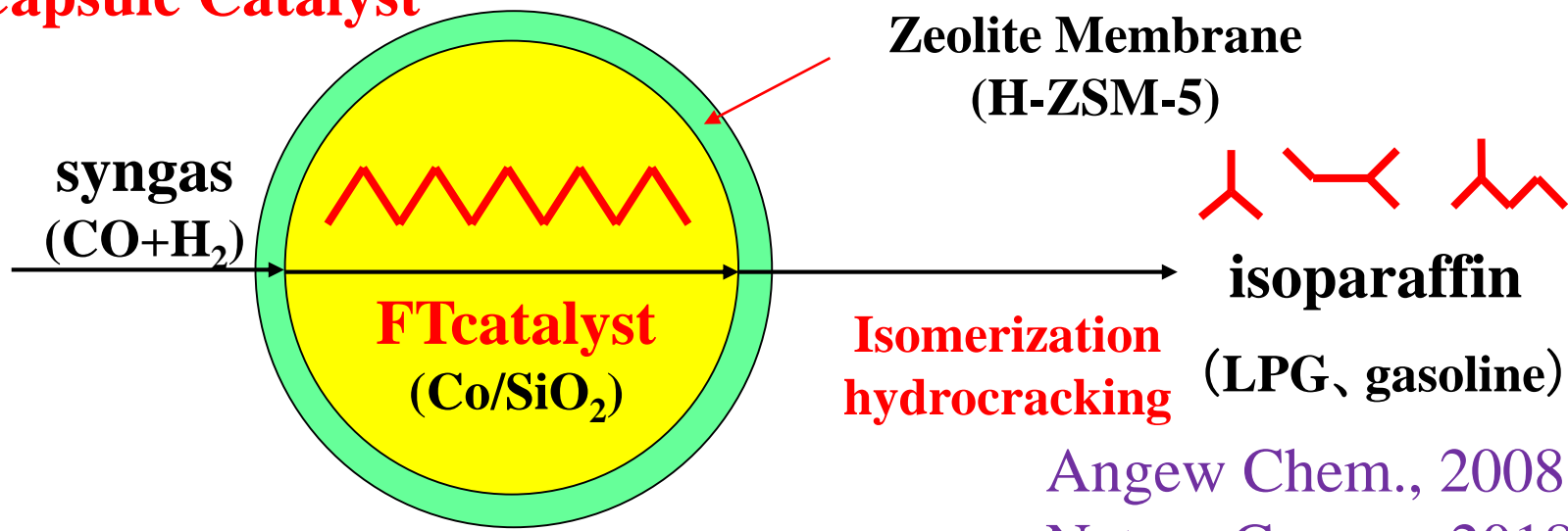
aromatics
olefin

第一部: カプセル触媒と芳香族/PX

Target

- Designing capsule catalyst and combining FT reaction, isomerization, hydrocracking in a single pellet.

Capsule Catalyst



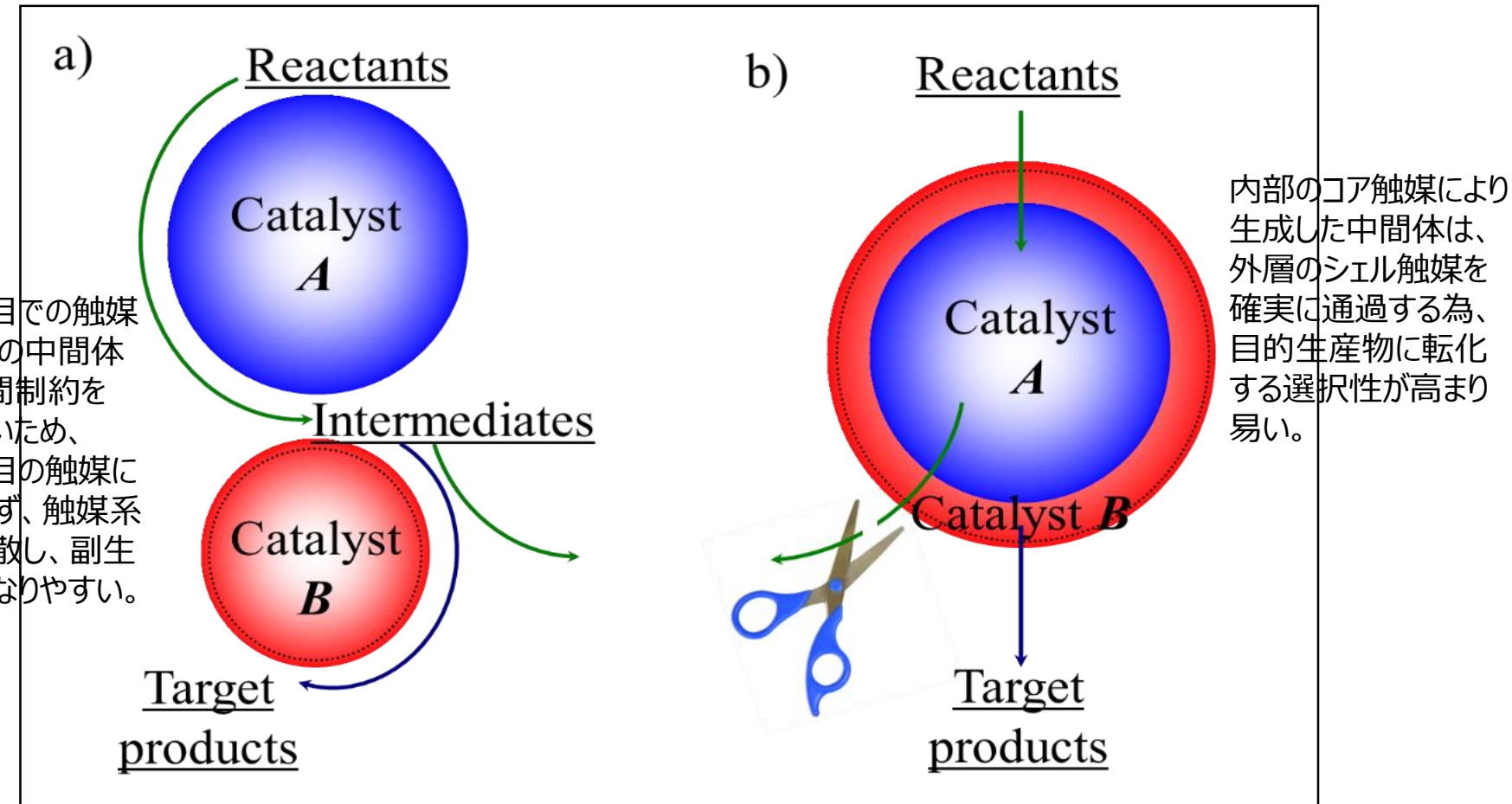
This concept can be applied to all consecutive reactions

JACS 2010

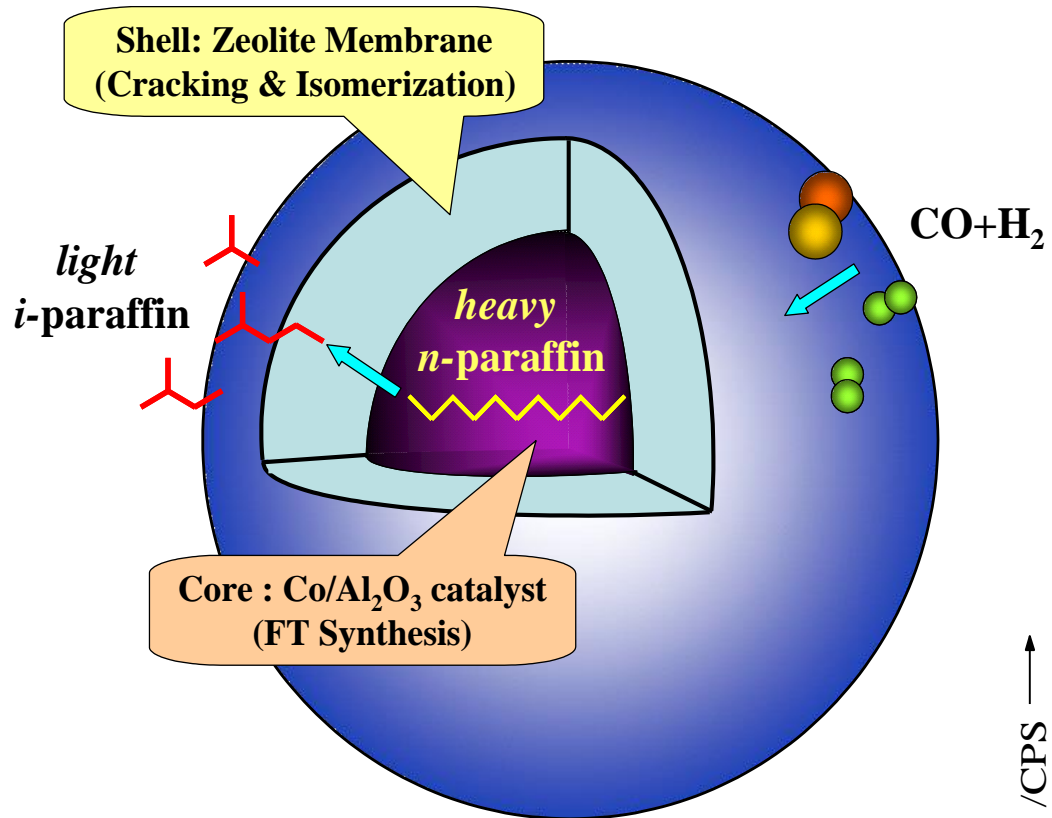
Chem Sci 2013

catalyst 1 *catalyst 2*
A → *B* → *C* →

2. C1化学とカプセル触媒の設計

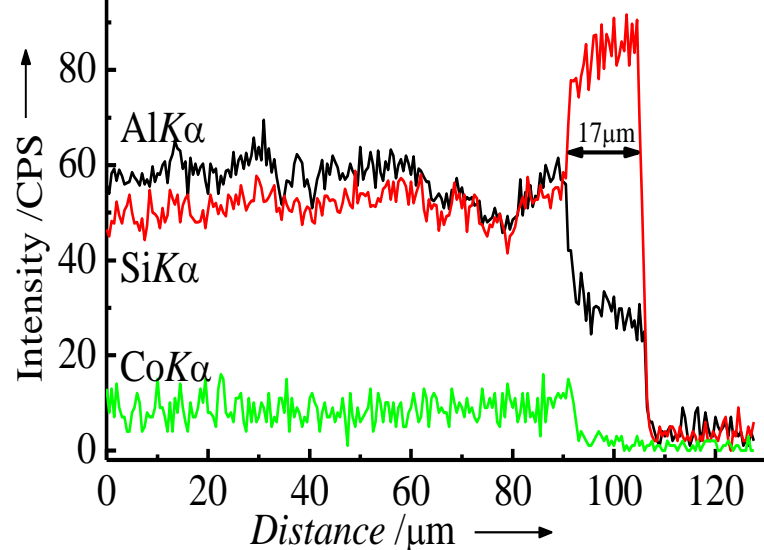
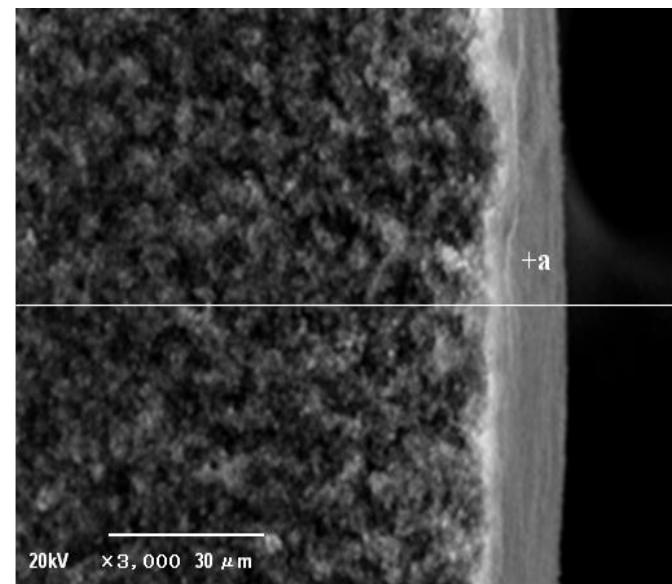


物理混合触媒a)と新規カプセル触媒b)の比較
～カプセル触媒の空間規定性による中間生成物の抑制～



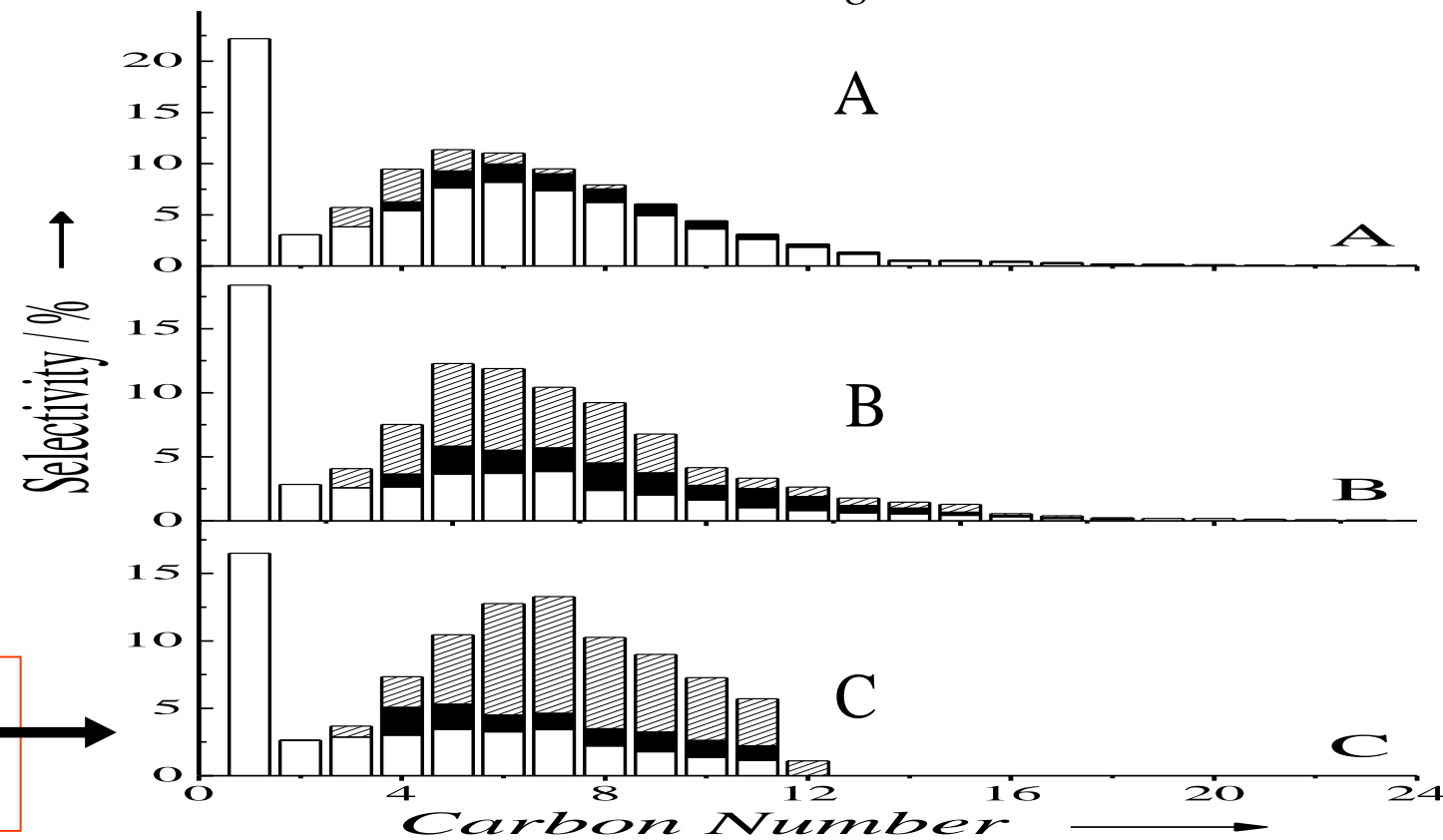
Chem Eur J., 2006
Journal of Catalysis, 2009

SEM-EDX



New zeolite hydrothermal synthesis : never use NaOH,
Never use Br, Cl, to keep core catalyst activity

膜を厚くする
か膜の酸強
度を増やすと
LPGへ軽質化



Production distribution on: (A) the conventional $\text{Co}/\text{Al}_2\text{O}_3$, (B) the physical mixture of $\text{Co}/\text{Al}_2\text{O}_3$ and beta-zeolite, and (C) the beta zeolite coated $\text{Co}/\text{Al}_2\text{O}_3$ catalyst;

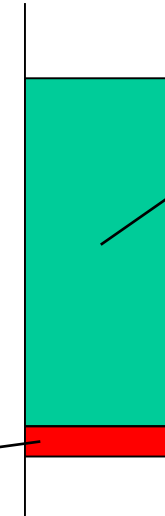
□: *n*-paraffin, **■:** olefin, **///:** iso-paraffin.

Merits of the capsule structure catalyst:

平衡移動 分子形状選択性

局限反応空間

多段触媒合成有機合成を一段に遂行

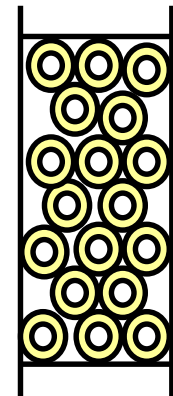


High S/V (membrane surface area vs reactor volume) gives excellent separation effect.

困難な大面積製膜不要

ナノ反応空間からmm, cmサイズのカプセル規模までの触媒機能設計、集積化

発熱反応と吸熱反応を一括に、エネルギー効率向上



high S/V
for this
type

タンデム触媒反応 Tandem Catalysis 或いはカスケード触媒反応 Cascade Catalysisに従来、一般的に物理混合触媒を使用

カプセル触媒の概念と特徴

- ・コア—シェル構造による複数触媒機能の協奏効果と反応連携
- ・空間を規制した反応場による形状選択性発現や連續的な反応空間の実現、反応シーケンスの制御
- ・反応に付随する熱エネルギー及び反応生成物のその場での活用
- ・空間ギャップ無くナノサイズからマクロサイズまでの反応場の総括設計可能
- ・外側のシェル被覆による高効率な分離機能を付与
- ・マイクロリアクター様の逐次反応、連續反応を一括実現させるシステム
- ・シンプルケミストリープロセスの実現

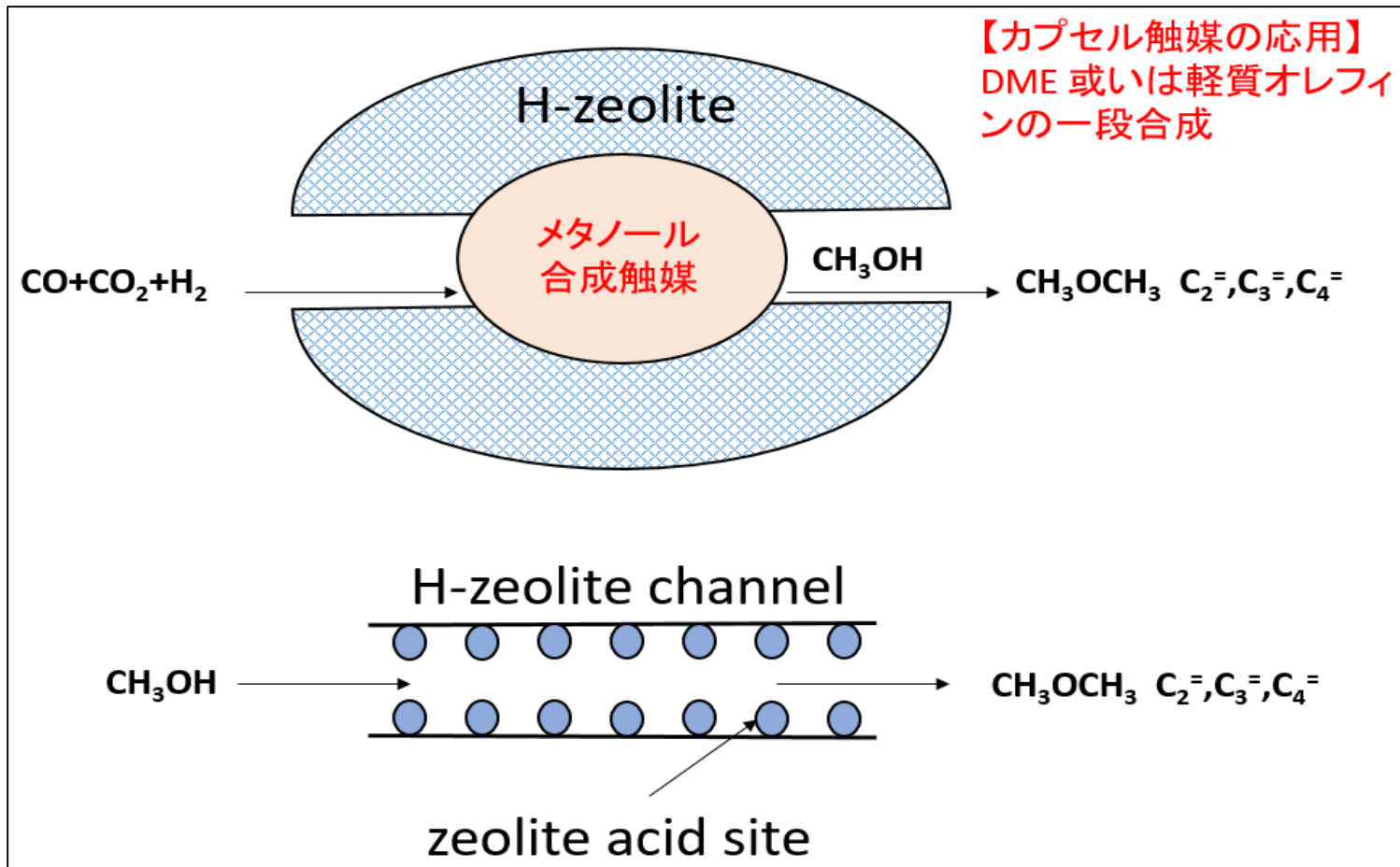
(ちなみにマクロ的な総括反応も各素反応ステップのタンデム触媒反応)

3、各種炭化水素(HC)の合成 3-3. 開発済カプセル触媒の例(3)DME

①コア触媒



②シェル触媒



- 1、CO₂、DME(ジメチルエーテル)、軽質オレフィンは線形分子；膜へ容易に貫通。
- 2、メタノール合成は平衡制限激しい反応。In situ MeOH to DMEは転化率急増。
- 3、酸性制御によってDME/オレフィン/芳香族を作り分けできる。

3、各種炭化水素(HC)の合成

3-3. 開発済カプセル触媒の例(3)DME



Cu-Zn-Al-O@HZSM5触媒の調製

AIイオン遷移法の開発

2010年特許(富山大とクラリアント触媒)

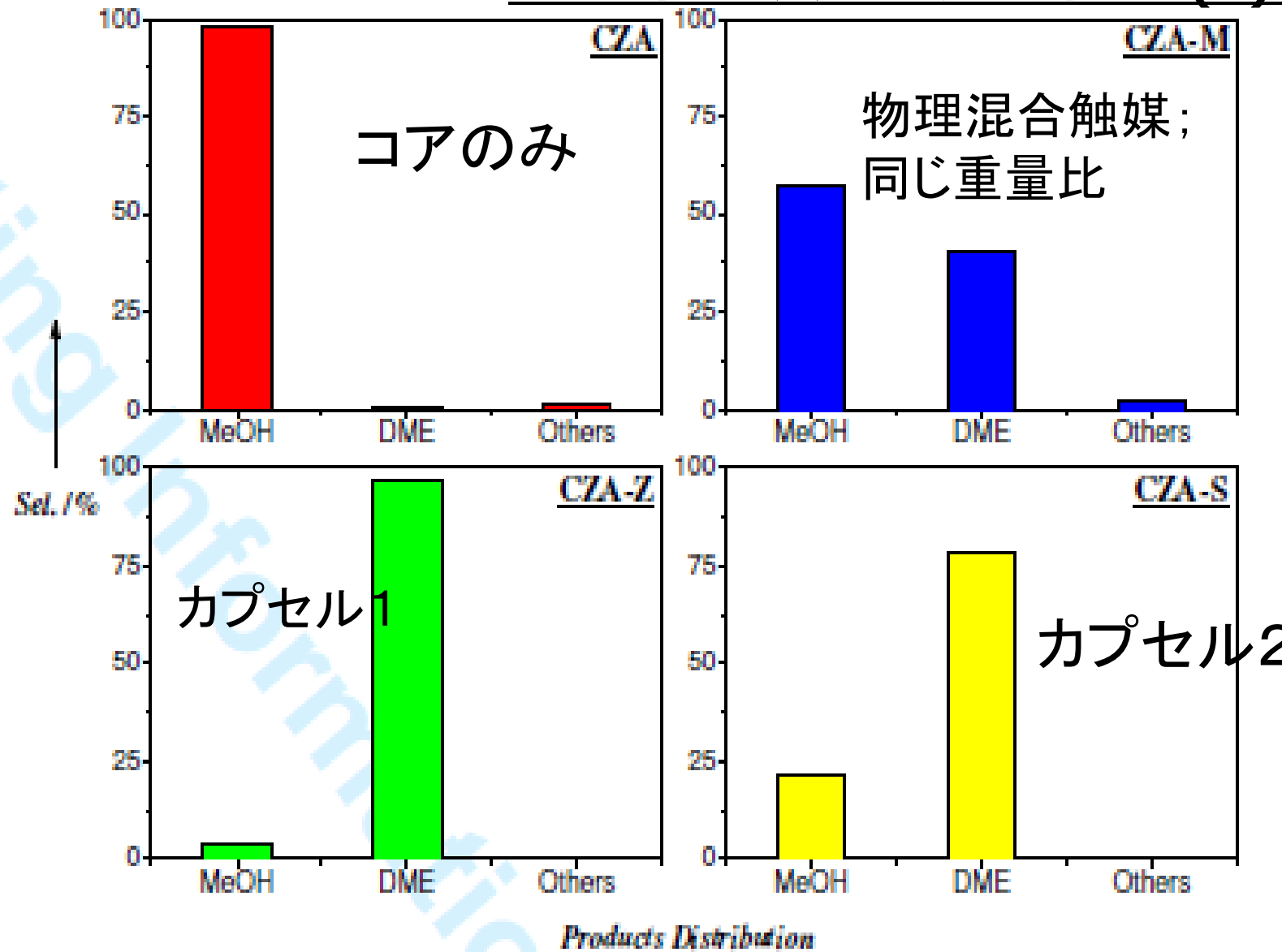
JACS, 2010

共沈殿Cu/ZnOペレットは強度弱い; 強アルカリ性HZSM5水熱合成液(pH=11)に金属とアミンの錯体が形成し、コアが溶ける。

Changing idea: Al_2O_3 をCu/ZnOに導入、このコアをsilicalite-1中性水熱合成液体(pH=8)に被膜。Alイオンが製膜中コアからsilicalite-1骨格へ遷移し、最終酸性HZSM5膜が形成

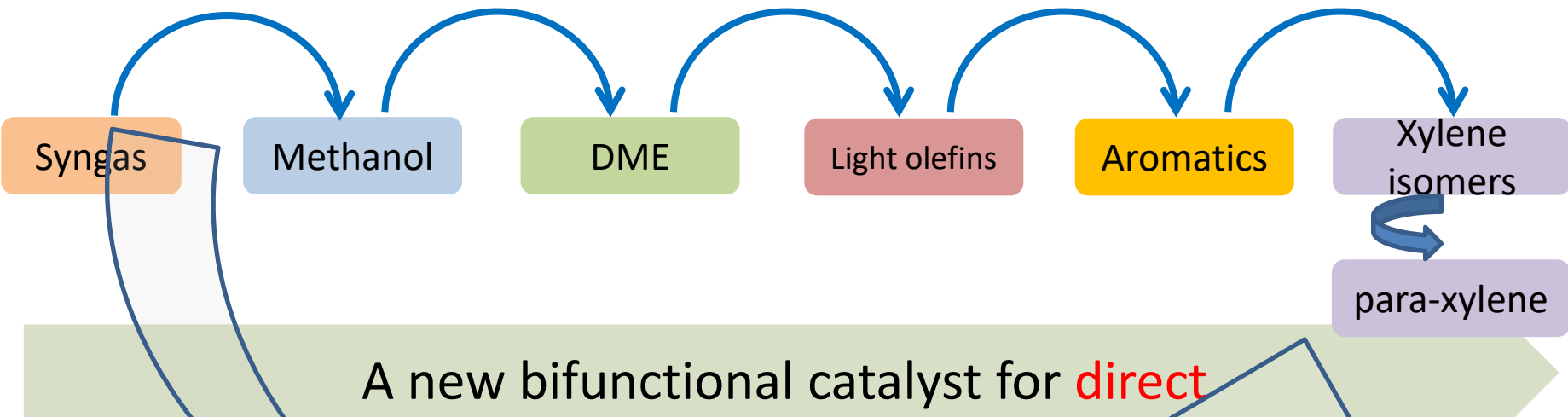
3、各種炭化水素(HC)の合成

3-3. 開発済カプセル触媒の例(3)DME



para-xylene (PX) direct synthesis from syngas ($\text{CO}+\text{H}_2$) or CO_2+H_2

The traditional **indirect** route for PX synthesis from
syngas (theoretic and virtual route)



A new bifunctional catalyst for **direct**
synthesis of PX from syngas

One-pass selective conversion of syngas to para-xylene. *Chemical Science*,
inside cover paper, 2017, 8, 7941

C1 to C8 ;
6-step to 1-step

PX: PET and textile fiber

**1, Syngas to MeOH
On Cr-Zn-O**

Zeolite capsule catalyst

**2, MeOH enters capsule
catalyst to form benzene
via DME and olefins**

Syngas

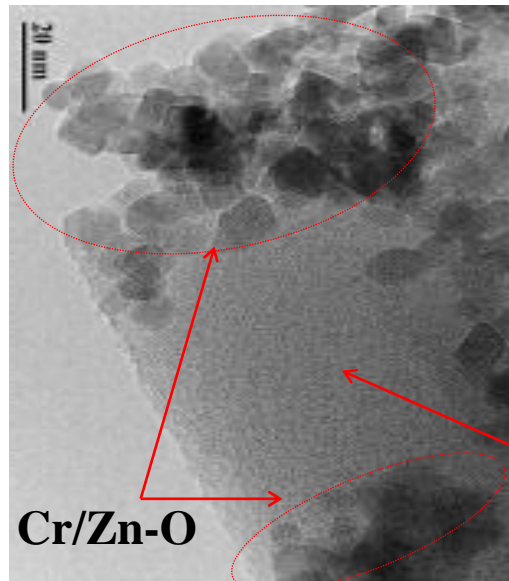
Cr/Zn

Zn/Z5@S1

Core:
Shell:
Zn/Z5
S1

para-xyle

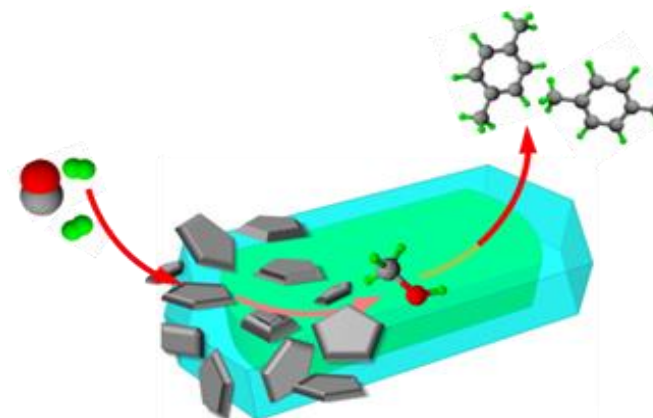
**3, Friedel-Crafts
Reaction in
ZSM-5 channel
to form PX**



**Zn/ZSM5@Silicalite-1
Capsule catalyst**

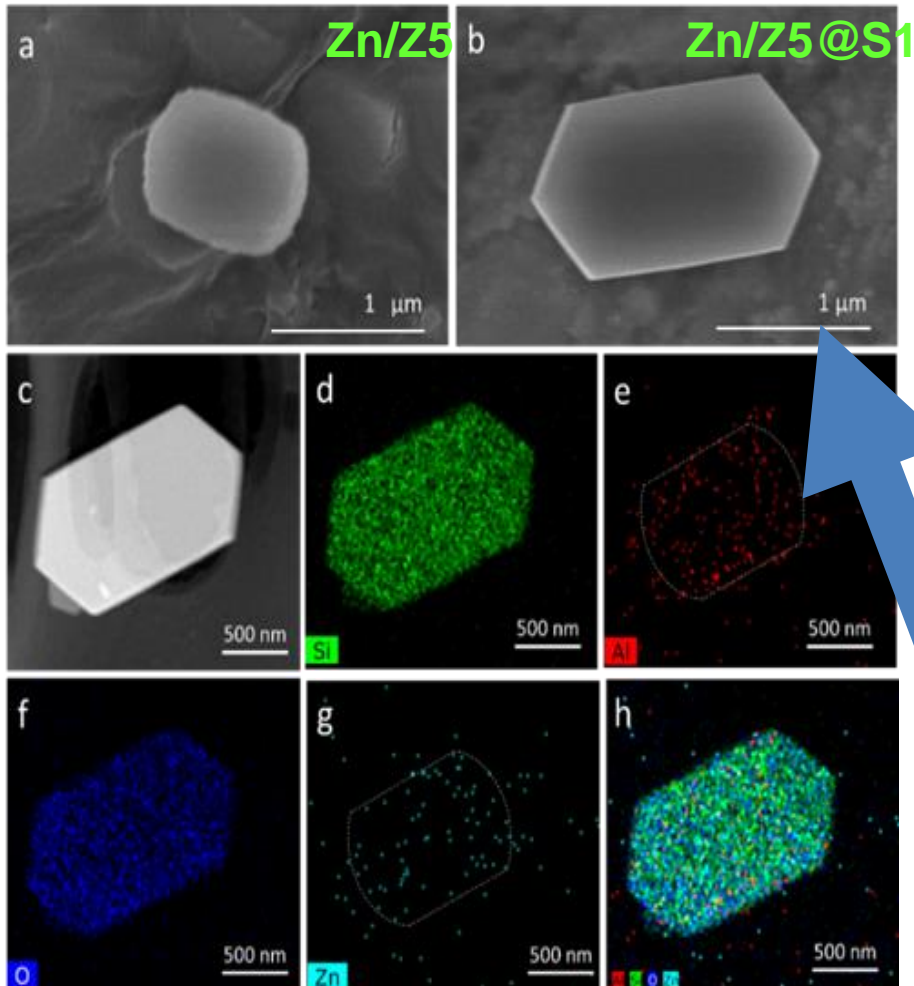
Thermodynamic equilibrium

PX/OX/MX=1/1/2

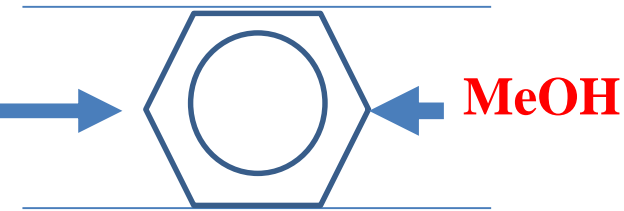


**4, Stop
Isomerization
of PX !**

FE-SEM&STEM



ZSM-5 channel



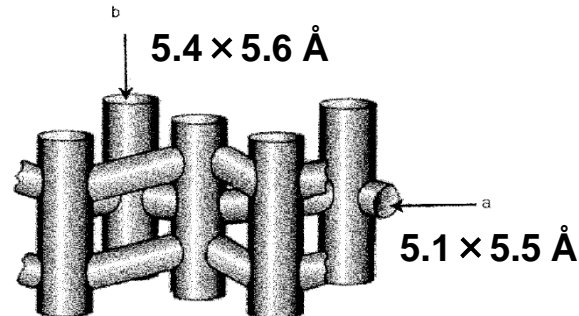
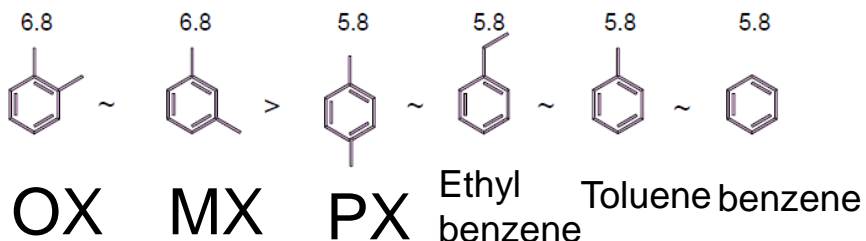
3, Friedel-Crafts Reaction in bulky ZSM-5 channel to form PX precisely:
Only 1-, 4- of benzene are attacked

4, Stop PX to ortho- and meta-by
erasing ZSM-5 outside surface acidic
sites by coating silicalite-1

The FE-SEM images of (a) Zn/Z5 and (b) the core-shell-structured Zn/Z5@S1 zeolite components; (c) the STEM image of Zn/Z5@S1 zeolite component and the corresponding STEM EDS mapping of (d) Si, (e) Al, (f) O, (g) Zn and (h) the combined Si, Al, O and Zn.

ZSM-5

Kinetics diameter of aromatics close to the pore size of ZSM-5



Xylene isomerization

—Xylene at equilibrium
24% PX

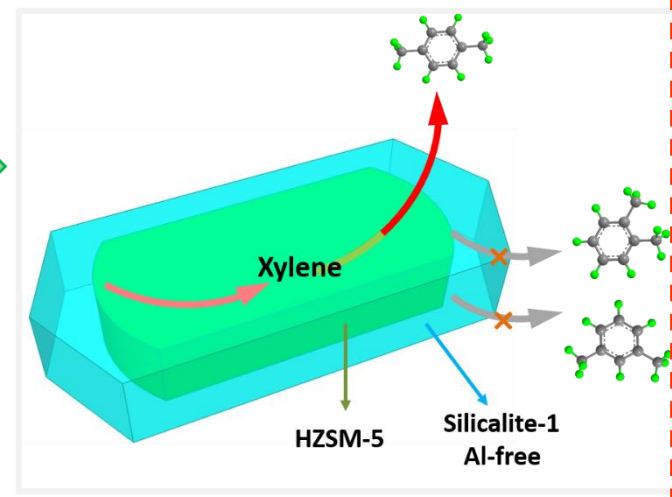


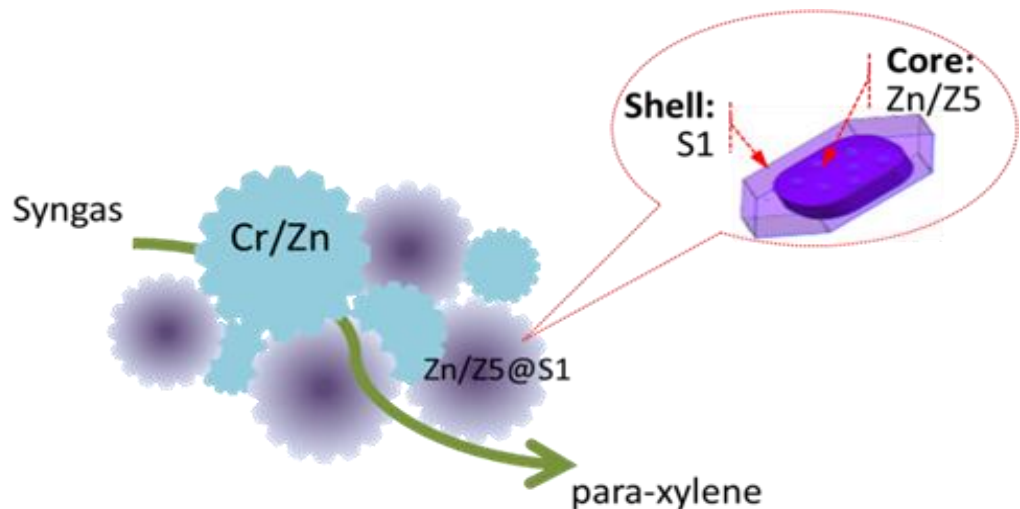
OX

MX

22%

54%

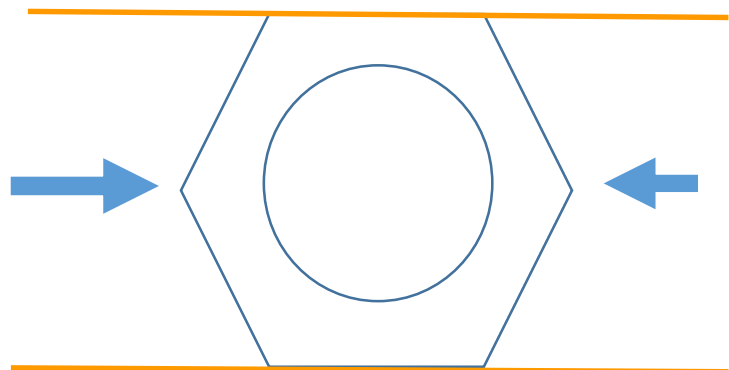




S-1 membrane erases zeo outside acid, stopping PX to MX/OX



H-ZSM-5 channel



Only 1- and 4- positions
can be accessed by
methanol.
High PX selectivity.

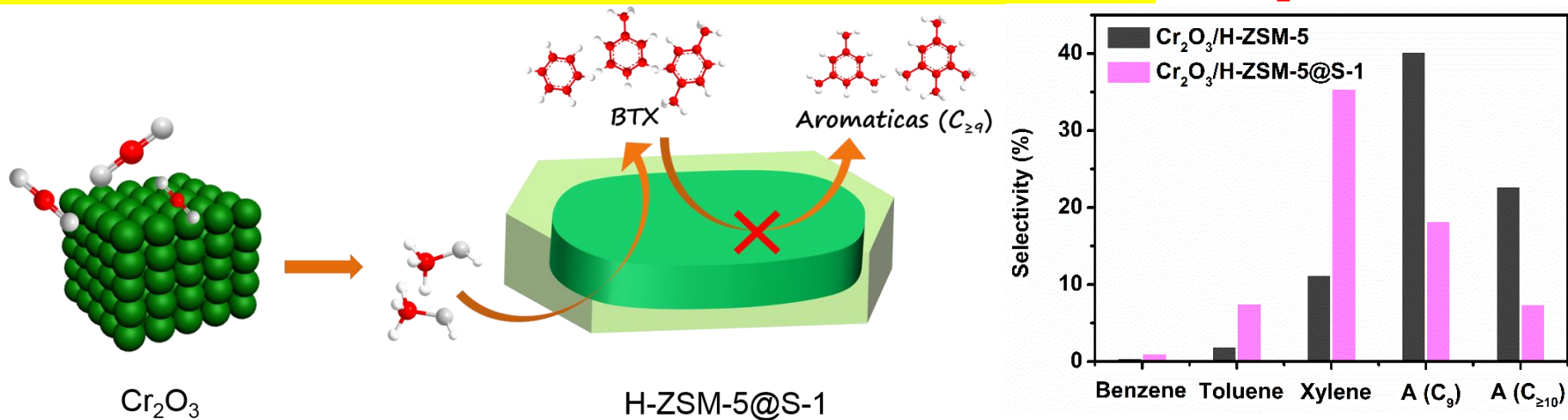
Cr/Zn+Zn/Z5@S1 hybrid catalyst

Chemical Science (cover paper), 2017, 8, 7941-7946.

Change from CO to CO₂, same methodology

One-step conversion of CO₂ to PX

ACS Catal., 2018
PCT patent, 2017



- ✓ Passivation of external acid sites by Silicalite-1 → high PX selectivity >50%

PX(PET): 50M ton/Y world from crude now.

70% for clothes and 30% for bottle.

If this PET from CO₂, cutting CO₂ 150M ton/Y, 1/10 of Japan annual CO₂ emission amount.

We (UT, Nippon Steel, Chiyoda, Mitsubishi...) plan to build full commercial plant (0.5M ton/Y) before 2027 for zero C PX

3、各種炭化水素(HC)の合成 3-2. 開発済カプセル触媒の例(2)軽質オレフィン

Topic: 人工光合成組合

ARPChemにて椿と住友化学

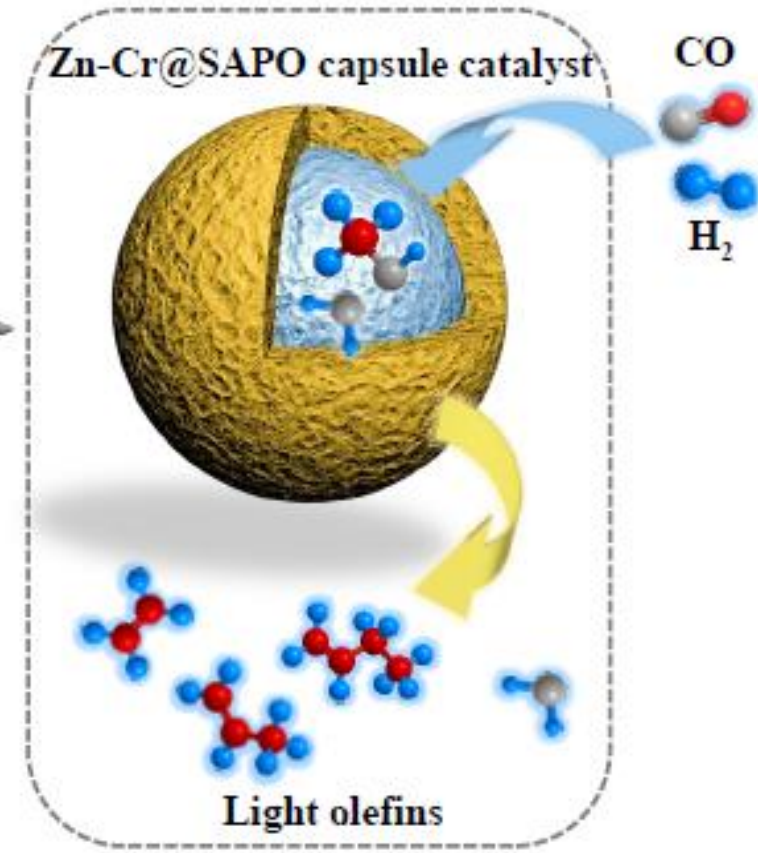
CO/CO₂+ソーラー水素

から軽質オレフィン合成担当



合成ガスからC2-C4軽質オレフィン
の直接合成

DFT計算に基づき、①CO₂の副生を抑制；②オレフィン水素化防止を実現できたZn-Cr-O@SAPO34カプセル触媒。



Chem. Sci. (cover paper) 2020

- ①の理由: ゼオライトシェルの撥水効果によって、生成した水はコアに触れず、水性ガスシフト反応 $\text{CO}+\text{H}_2\text{O}=\text{CO}_2+\text{H}_2$ が進行困難。
- ②の原因: 膜で生成したオレフィンは膜に隔離され、周辺コアに触れず、二次水素化抑制。

PART 2

Integrated tuneable synthesis of liquid fuels via varied Fischer-Tropsch technology

Nature Catal., Vol. 1, 2018
Editorial by Nature Vol. 561,
286, 2018

Getting jet fuels from
syngas directly.



Clever chemistry
offers new source of
jet fuel

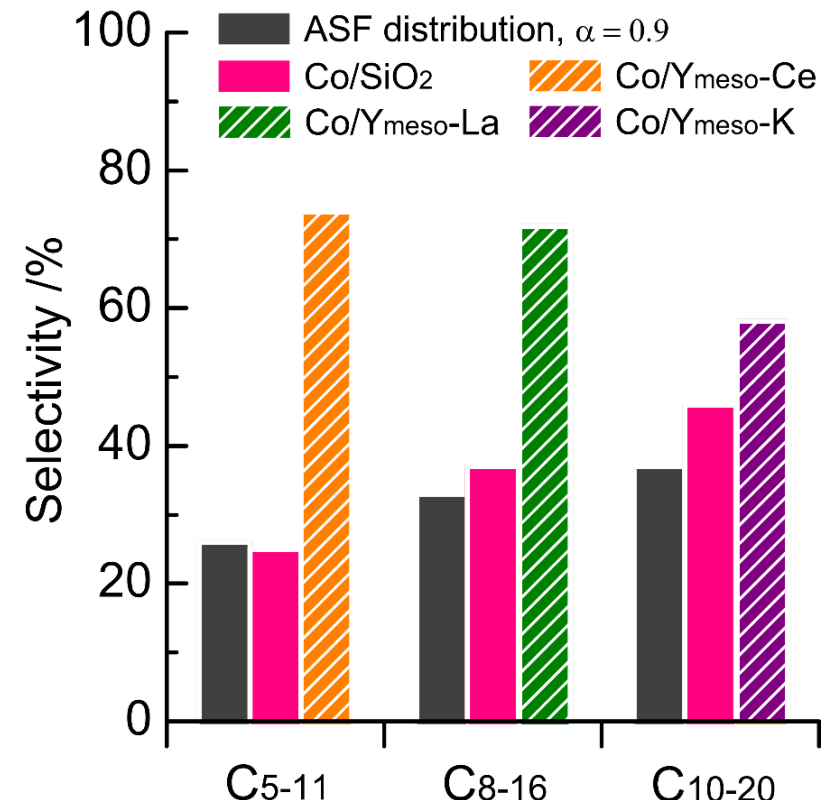
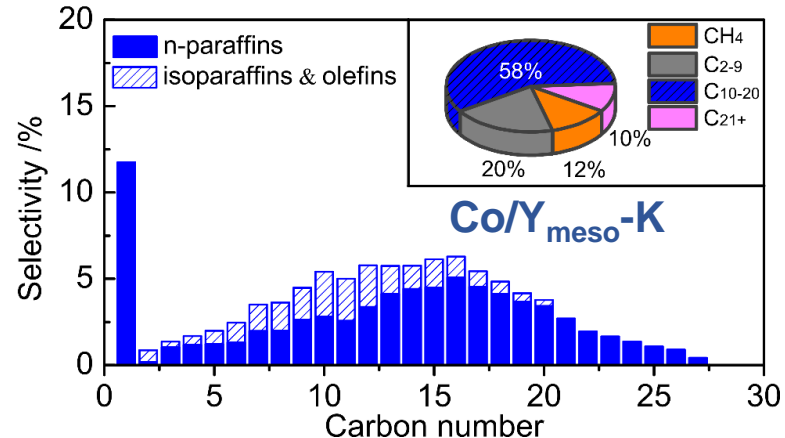
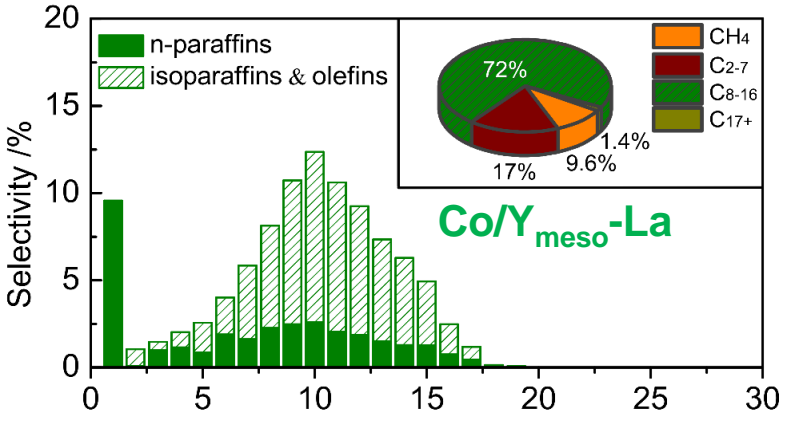
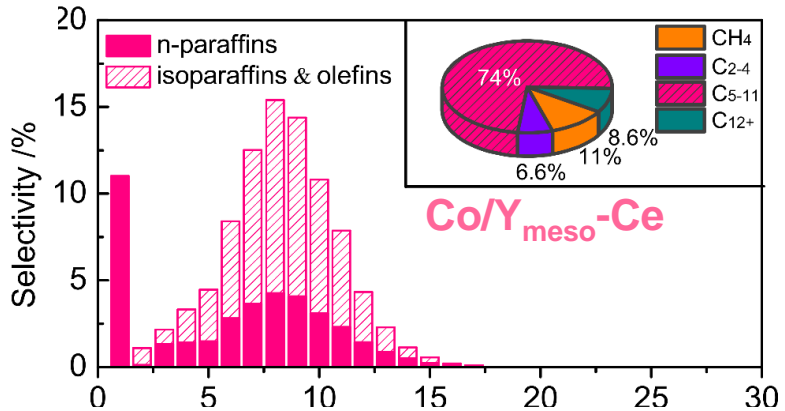
*Update of century-old chemical
reaction could produce kerosene
from biomass.*



 [PDF version](#)



detailed product distribution of Co/Y_{meso} catalysts



The Liquid fuels selectivities:

Gasoline (C₅-C₁₁): ~48% up to 74%

Jet fuel (C₈-C₁₆): ~41% up to 72%

Diesel (C₁₀-C₂₀): ~40% up to 58%

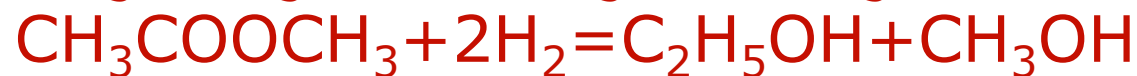
Breaking limitation

第3部 new EtOH synthesis route

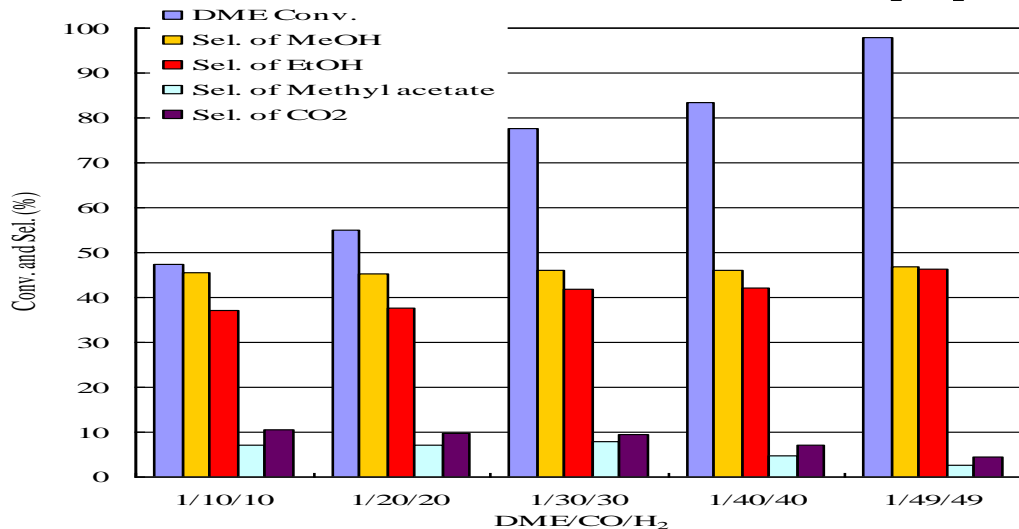


ChemSusChem, 2010
(hot paper)

新ルート:DMEと合成ガスからEtOHと水になる



4-2. 開発済力セル触媒の例(6)EtOHの新合成法1



特開2010
海外企業スケールアップ

Dural bed reactor



Acidic Zeolites

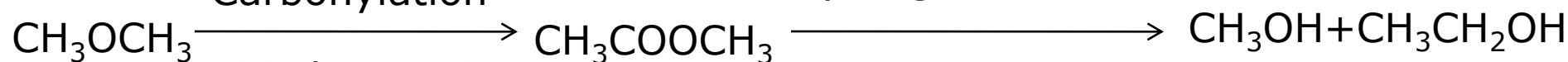
Hydrogenation Catalysts

Carbonylation

hydrogenation

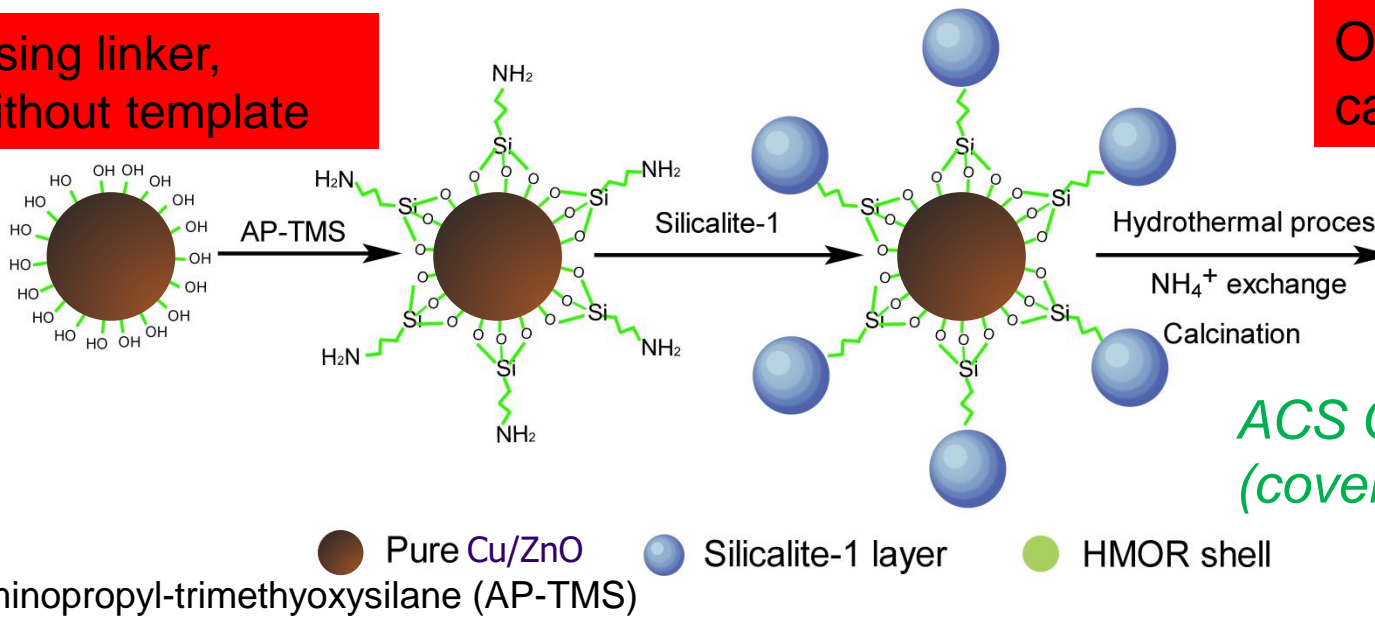
CO by H-MOR

H₂ by Cu/ZnO



From dural-bed reactor to capsule catalyst

Using linker,
without template



One capsule
catalyst to finish

ACS Catal., 2020
(cover paper)

Catalysts

Catalysts	Conv. (%)		Selectivity (%)					
	DME	CO	MeOH	EtOH	MA	EA	CO_2	
Cu/ZnO@HMOR-0.1 ^a	9.7	0.9	52.7	43.5	1.1	0	2.7	
Cu/ZnO@HMOR-0.5 ^a	10.0	0.9	51.4	44.2	1.3	0	3.1	
Cu/ZnO@CuMOR-1 ^b	8.1	1.1	51.7	44.0	1.7	0	2.6	
Cu/ZnO@CuMOR-2 ^b	<1.0	<0.1	100	0	0	0	0	

Reaction conditions: 493K, 1.5MPa, 0.5g catalyst, feed gas: $40\text{ml}\cdot\text{min}^{-1}$ ($\text{Ar}/\text{DME}/\text{CO}/\text{H}_2=1.55/2.35/46.10/50.00$). Capsule catalyst prepared by hydrothermal synthesis. ^aCatalysts obtained by ion-exchange of Cu/ZnO@NaMOR with 0.1 or 0.5M NH_4NO_3 solution respectively. ^bCatalysts prepared by ion-exchange of Cu/ZnO@HMOR-0.5 with 0.06M $\text{Cu}(\text{NO}_3)_2$ solution for 1 or 2 times.

第4部

3、各種炭化水素(HC)の合成

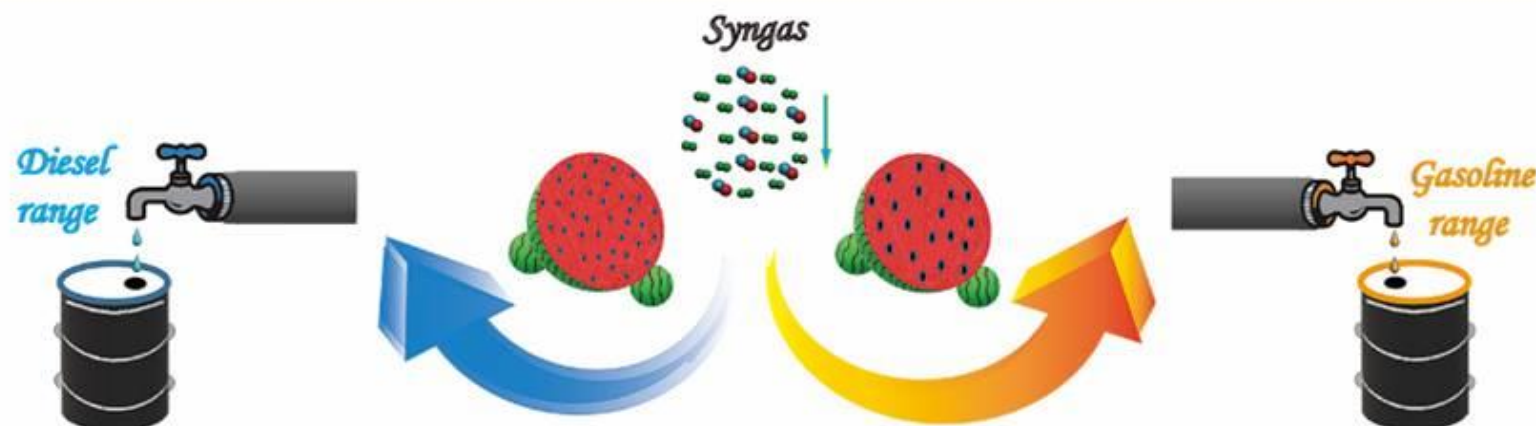
3-5. 開発済力セル触媒の例(5)FTのCoを削減

FT 合成のAnderson-Schulz-Flory 法則に反する現象
—シリカに被覆された小粒子径コバルト金属粒子が逆
に炭素連鎖成長を加速する—



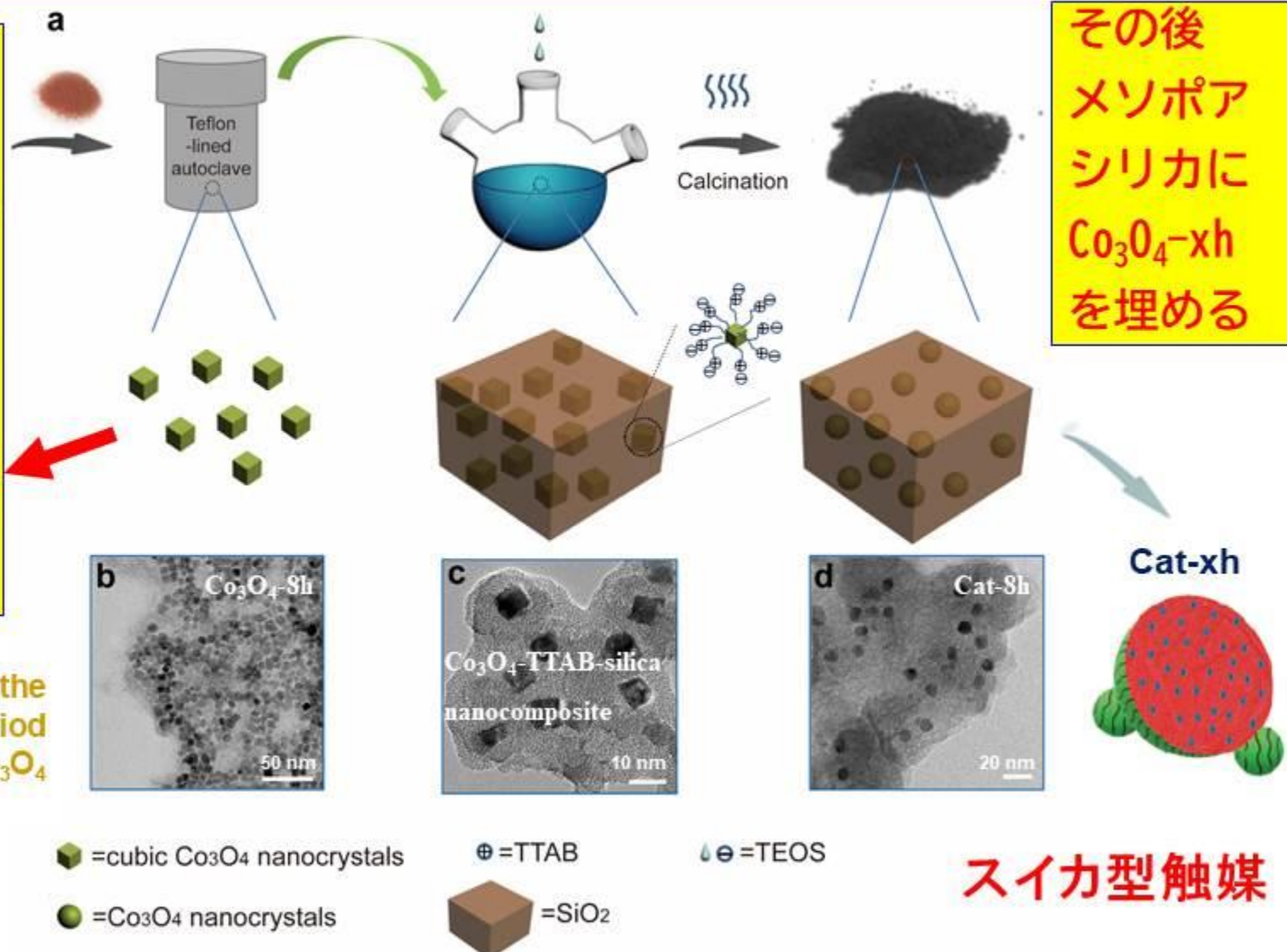
およびこれらの α -オレフィンの水素化

従来の定説: FT合成はCO切断で生成したCH₂の線形重合であり、大きな平坦な金属表面では長鎖炭化水素が伸びやすい。大きな金属、炭化物粒子では軽油が多い、ガソリンが少ない



Catalyst Design Strategy

$\text{Co}_3\text{O}_4-x\text{h}$
水熱合成
時間4, 8,
12時間
粒子径揃え。
水熱時間
長いほど
大粒子。



The 'xh' was the hydrothermal period of the Co_3O_4 nanocrystals

Fig. Synthesis of the $\text{Cat}-x\text{h}$ catalysts.

スイカ型触媒

FT reaction of water-melon-like Co/SiO₂ catalysts

20気圧, 220°C, W/F=5.1 gh/mol, CO/H₂=1/2

Catalyst name	CO conv. (%)	TOF (s ⁻¹)	C5+ Sel. (%)	C5-C11 Sel. (%)	C10-C20 Sel. (%)
Cat-12h	80.6	0.064	80.0	62.4	23.7
Cat-8h	78.2	0.049	74.9	42.4	39.3
Cat-4h	77.0	0.039	84.2	15.6	66.2

1、C5+sel%と金属粒子径の相関：リニアな関係ではない

2、定説を逆転→14nm大粒子(12h)：ガソリン；

5nm小粒子(4h)：軽油。

逆転現象の原因と解釈 :

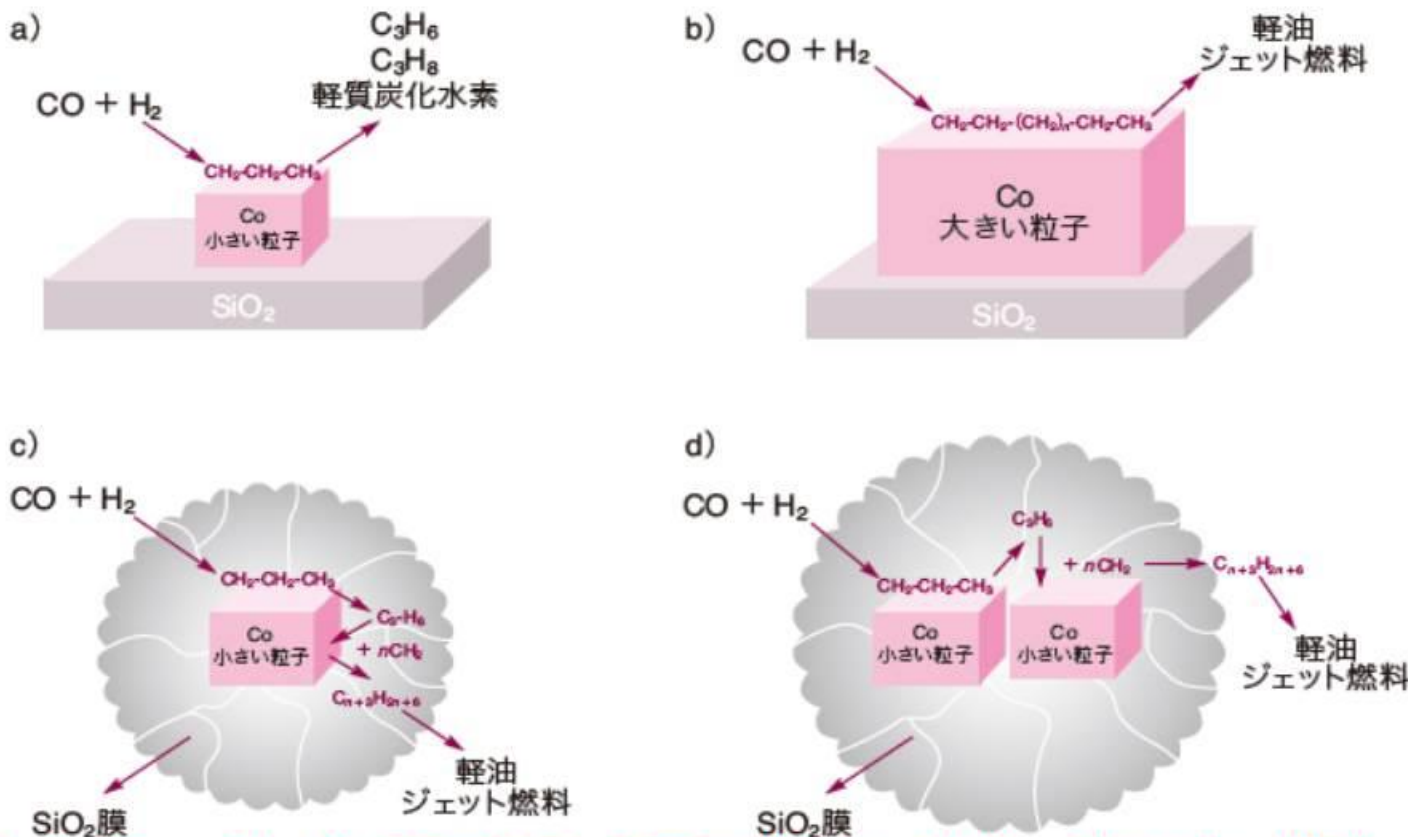
大きな粒子径を有するCat-12h（還元状態）のCoの配位数が9.3。

小さな粒子径を有するCat-4hのCoの配位数が7.3（平坦表面が少ない）。複数の隣接金属原子による共鳴構造の形成が困難になる。結果的に3d電子のエネルギーが高くなり、より容易にCOの反結合軌道に流れ込み、CO結合を迅速に切斷できる。

3、各種炭化水素(HC)の合成

3-5. 開発済力セル触媒の例(5)FTのCoを削減

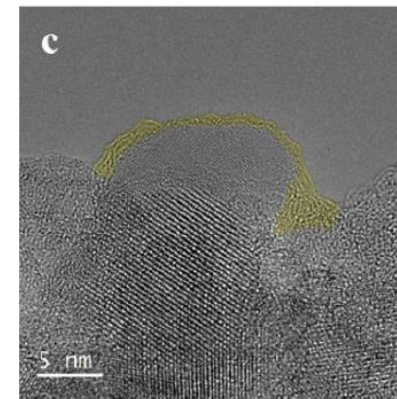
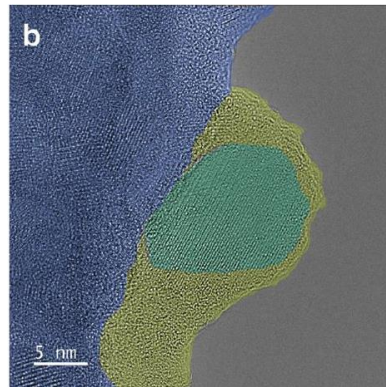
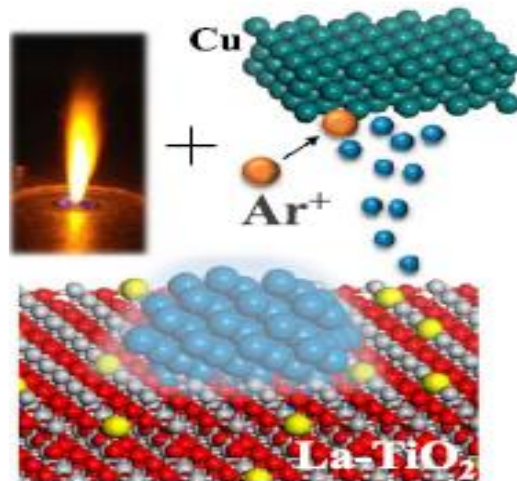
a), b): 従来の担持触媒。c), d): スイカ型 日経、JSTプレスなど掲載



Shell, ExxonMobilの3万BPDのFT工場はCo触媒一度500トン搭載。

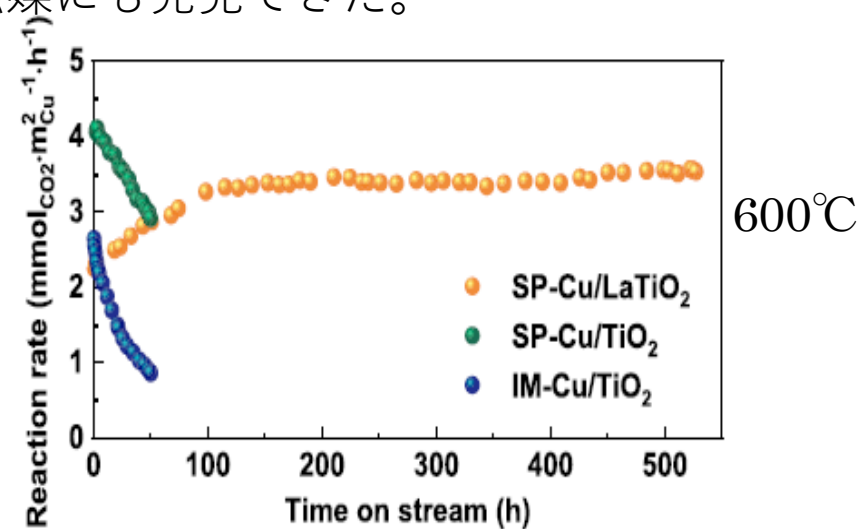
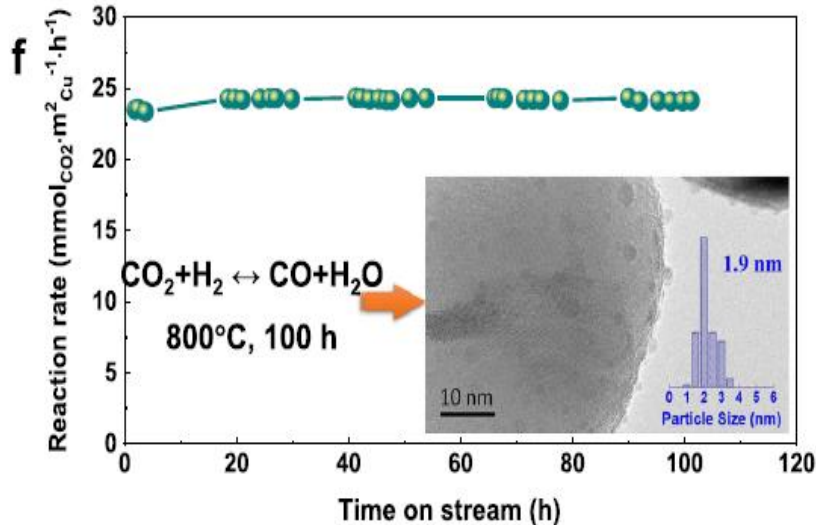
電気自動車の需要で、Co価格急増 → Co使用量削減の触媒へ

III. FSP+SP



黄色部分：
移動してきた
 TiO_{2-x} 無定形層

逆水性ガスシフト反応：銅触媒は高温でも安定した活性を実現した。SMSI効果は従来貴金属に限定されたが、初めて普通金属触媒にも発見できた。



Thanks a lot !

ご清聴ありがとうございました。



立山連峰と富山湾

Toyama Bay and Tateyama Mountains